



## مروری بر جذب بیولوژیکی رنگزها به وسیله قارچ‌های غیر زنده

محمد ابراهیم علیا<sup>۱</sup>، رعنا خلیل نژاد<sup>۲\*</sup>

۱- استادیار، گروه رنگ و محیط زیست، موسسه پژوهشی علوم و فناوری رنگ و پوشش، تهران، ایران، صندوق پستی: ۱۶۷۶۵-۶۵۴

۲- دکتری شیمی کاربردی، دانشکده شیمی، دانشگاه آزاد اسلامی واحد تهران شمال، تهران، ایران، صندوق پستی: ۱۹۱۳۶۷۴۷۱۱

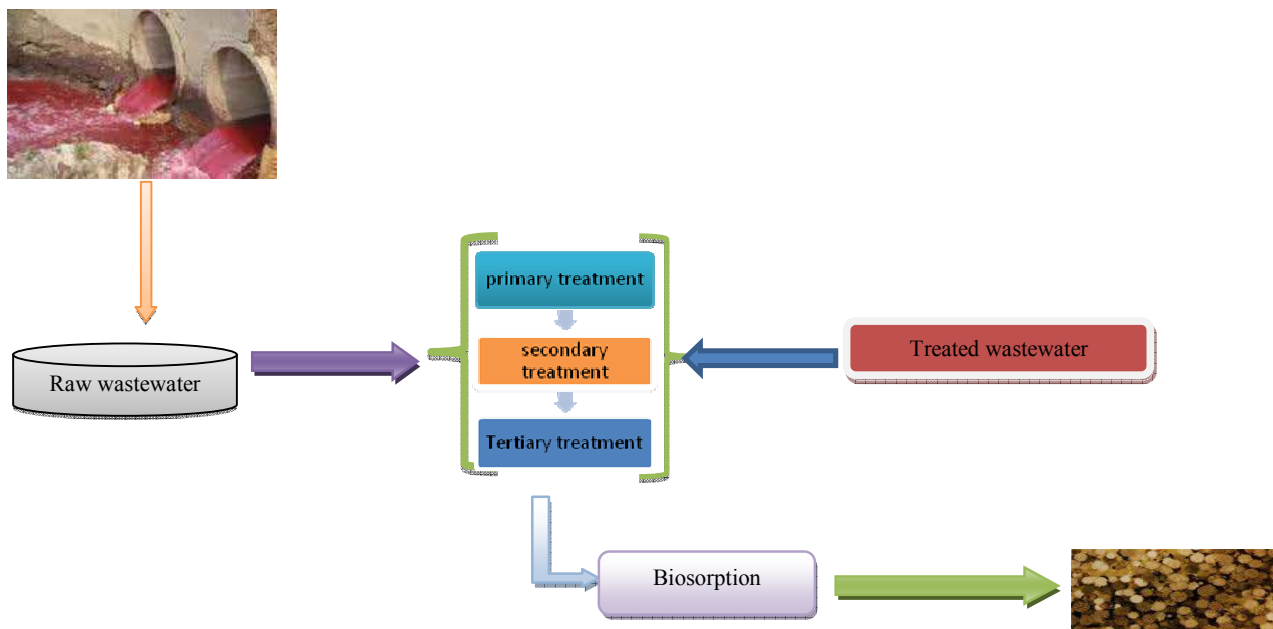
تاریخ دریافت: ۹۲/۳/۲۱ تاریخ بازبینی ۱: ۹۲/۴/۴ تاریخ بازبینی ۲: ۹۲/۷/۲۸ تاریخ بازبینی ۳: ۹۲/۹/۳۰ تاریخ پذیرش: ۹۲/۱۰/۹

### چکیده

در حال حاضر آلودگی محیط زیست به عنوان یک مشکل و معصل جهانی مطرح می‌باشد. رنگزها از جمله خطرناک‌ترین گروه‌های ترکیبات شیمیایی یافته شده در پساب‌های صنعتی بوده است. در این مقاله مروری حذف رنگزها با استفاده از قارچ‌ها مورد مطالعه قرار گرفته است. قارچ‌ها به صورت غیر زنده جذب بهتری را نسبت به نوع زنده دارد، جوشاندن بیومس در سود یکی از روش‌های مناسب برای کشتن قارچ مورد نظر می‌باشد. این قارچ‌های غیر زنده از طریق سازوکار جذب بیولوژیکی این آلاینده‌ها را از پساب‌های مختلف حذف می‌کنند. عواملی مانند دما، غلظت جاذب، pH در جذب بیولوژیکی موثر است. چند نمونه از رنگزهایی که توسط قارچ‌ها جذب می‌شوند بررسی گردیده و در ادامه برای بهینه‌کردن جذب بیولوژیکی از روش ثبت سلولی استفاده گردیده است. در فرآیند جذب بیولوژیکی رنگزها در سیستم ناپیوسته از مدل‌های ایزوترمی که بیانگر ارتباط تعادلی غلظت ماده جذب شونده بین جاذب و محلول می‌باشد، مورد استفاده قرار می‌گیرد و مطالعات مدل‌های سنتیکی بیوجذب این رنگزها بررسی شد. همچنین معادلات توماس و یان که در سیستم پیوسته کاربرد دارند مورد بحث واقع شده‌اند.

### واژه‌های کلیدی

میکروارگانیسم‌ها، قارچ، رنگزها، جذب بیولوژیکی، ثبت سلولی، سدیم آژرینات، سیستم پیوسته، ایزوترم.



\*Corresponding author: rana\_khalilnezhad@yahoo.com  
Review on biosorption of dyes by non-living fungi, M. E. Olya, R. Khalilnezhad

## ۲- بررسی خصوصیات میکرووارگانیسم‌های قارچی در جذب

### بیولوژیکی رنگزها

تاکنون قارچ‌ها و باکتری‌های کثیری که برای حذف و جذب رنگزها استفاده شده که به عنوان مثال از پنی‌سیلیوم ۰۱ YW برای جذب اسید سیاه ۱۷۲ و قرمز کنگو [۶]، ساکارومیسین سرویزیه<sup>۹</sup> و ریپاس نیگریکان‌ها<sup>۱۰</sup> برای جذب رنگزهای راکتیو گزارش شده است [۸].

### ۲-۱- خصوصیات عمومی قارچ‌ها

قارچ‌ها گیاهانی هستند بدون سبزینه بی‌ریشه و فاقد ساقه و برگ و گل و در ردمبندی جزو ریسه‌داران<sup>۱۱</sup> به شمار می‌آیند. مواد غذایی در قارچ‌ها به صورت گلیکوژن و چربی است و چون دارای هسته مشخص، حقیقی، کلروفرم و میتوکندری هستند. قارچ‌ها موجوداتی هستند فاقد کلروفیل که به وسیله اسپر تکثیر می‌یابند. سلول آنها واحد هسته و به طریقه جنسی و غیر جنسی تولید مثل می‌نمایند در دیواره آنها ماده سلولز یا کیتین و یا هر دو یافت می‌شود [۹]. عمدترين ترکيب غشاء پلاسمایي قارچ‌ها استرول‌ها می‌باشد که مهم‌ترین استرول موجود در غشاء پلاسمایي قارچ‌ها، ارگوسترون می‌باشد. ارگوسترون محل اثر بسیاری از داروهای ضدقارچی مثل پلی آنها<sup>۱۲</sup> و آزول‌ها<sup>۱۳</sup> می‌باشد. قارچ‌ها از نظر تغذیه چون کلروفیل و کلروپلاست ندارند هتروتروف بوده و برای رشد و تکثیر به ترکیبات آلی جهت اخذ انرژی و کربن نیاز دارند. قارچ‌ها از نظر تولید مثل همگی دارای تولید مثل غیرجنسی و تعدادی تولید مثل جنسی هم دارند.

### ۲-۲- ترکیبات موجود در قارچ‌ها

قارچ‌ها شامل ۸۰ تا ۹۰٪ آب، ۲ تا ۵٪ مواد پروتئینی، ۳٪ سلولز قارچی، ۴٪ ترهالوز، ۱٪ چربی، ۱۱/۲ تا ۱/۲٪ مواد معدنی و مقنار متغیری گلیکوژن می‌باشد. عناصری مانند فسفر، گوگرد، منیزیم، روی، آهن، سدیم، کلسیم، مس و کلر مورد نیاز است [۹].

### ۲-۳- ساختار رویشی قارچ‌ها

توده قارچی مجموعه ریسه‌های میکروسکوبی است که در همه جهات شاخه تولید می‌کند. ریسه قارچ ممکن است توسط دیواره‌های عرضی موسوم به سیپتم در فواصل معین منقطع گردد. ریسه بسیاری از قارچ‌های عالی دیواره عرضی دارند اکثر قارچ‌های پست دیواره عرضی ندارند. دیواره عرضی در تامین حمایت فیزیکی و در تمایز سلولی ریسه اهمیت دارد مهم‌ترین اندام رویشی در قارچ‌ها ریسه است که رشتہ لوله مانند بسیار نازک و منشعب که مملو از سیتوپلاسم یک یا چند هسته‌ای است. توده‌ای از این رشته‌های طریف و منشعب مانند غنی به یکدیگر می‌تنند و می‌سیلیوم را که در واقع جسم قارچ است را بوجود می‌آورند [۹].

<sup>۹</sup> *Saccharomyces Cerevisiae*

<sup>۱۰</sup> *Rhizopusnigricans*

<sup>۱۱</sup> Thallophytes

<sup>۱۲</sup> Polyenes

<sup>۱۳</sup> Azoles

## ۱- مقدمه

در دو دهه گذشته کارهای قابل توجهی با هدف استفاده از میکروارگانیسم‌ها به عنوان عوامل پاک‌کننده آبودگی‌های محیطی حاصل از پساب‌های رنگی کارخانجات تولید کننده این آلاینده‌ها انجام گرفته است که این فرآیندها، فرآیندهای بیولوژیکی می‌باشند که ارزان‌تر بوده و قابلیت اجرایی ساده‌تری دارد و نسبت به سایر روش‌ها در اولویت قرار گرفته است. فرآیندهای بیولوژیکی به لحاظ هزینه کم، طراحی آسان، سهولت در امر بهره برداری و عدم حساسیت نسبت به مواد سمی، امروزه مناسب‌ترین روش در حذف آلاینده‌های رنگی و بهبود کیفیت فاضلاب صنایع به منظور استفاده مجدد، به شمار می‌رود [۱]. مهم‌ترین مزیت این روش استفاده بسیار کمی از جاذب در جذب غلظت‌های بالای رنگزا، استفاده مجدد از جاذب و عدم تولید لجن می‌باشد [۲]. جاذب‌های بیولوژیکی می‌توانند به صورت‌های غیر زنده<sup>۱</sup> و زنده<sup>۲</sup> مورد استفاده قرار گیرند. اگر سیستم جذب جاذب بیولوژیکی غیر زنده باشد، فرآیندهای حذف آلاینده سریع بوده و مستقل از چرخه متابولیک بیولوژیک انجام شده که به آن سیستم غیرفعال<sup>۳</sup> گفته می‌شود و اگر جاذب بیولوژیکی زنده باشد فرآیند مورد نظر به کندي انجام شده و به آن سیستم فعال<sup>۴</sup> اطلاق می‌گردد [۳]. در فرآیند غیرفعال، آلاینده‌ها به مکان‌های موجود در دیواره سلولی جاذب‌ها متصل می‌شوند و حال آنکه در فرآیند فعال با توجه به چرخه متابولیک سلولی، از دیواره سلول عبور کرده و وارد سلول می‌شود [۴]. قابل ذکر است که اگر جاذب بیولوژیکی یک گیاه آبزی زنده باشد، کاربرد واژه گیاه پالایی<sup>۵</sup> بر جذب بیولوژیکی<sup>۶</sup> ارجحیت دارد. استفاده از میکروارگانیسم‌هایی مثل جلبک‌ها، قارچ‌ها، باکتری‌ها، مخمرها و اکنیومیست‌ها<sup>۷</sup> به عنوان جاذب رنگ‌ها مورد استفاده توسط محققان قرار گرفته‌اند. کوچک بودن اندازه ذرات، سرعت در رشد و تکثیر، چگالی کم، قدرت جداسازی بالا و کم هزینه بودن استفاده از آنها باعث شده تا محققان توجه بیشتری را به جاذب‌های بیولوژیک داشته باشند [۵]. در بین میکروارگانیسم‌ها قارچ‌ها قدرت جذب بیشتری را نسبت به برخی گونه‌های دیگر میکروارگانیسم دارند. قارچ‌ها سنته به نوع رنگرا در pH‌های قلیایی جذب بهتری از خود نشان می‌دهند زیرا دیواره سلولی آنها شامل کربوکسیلات و سففات است [۶]. در ضمن با مطالعات انجام شده مشخص شده است که بیوماس‌های<sup>۸</sup> غیر زنده قابلیت استفاده جهت حذف غلظت بالاتری از آلاینده‌ها (در حد ۵۰ تا ۵۰۰ میلی گرم در لیتر) را در مقایسه با انواع زنده خود دارند، ضمن اینکه کنترل عوامل فرآیند حذف بوسیله انواع غیر زنده آسانتر می‌باشد [۷].

<sup>۱</sup> Non-living or dead

<sup>۲</sup> Living

<sup>۳</sup> Passive uptake

<sup>۴</sup> Active uptake

<sup>۵</sup> Phytoremediation

<sup>۶</sup> Biosorption

<sup>۷</sup> Actinomycetes

<sup>۸</sup> Biomass

# مقاله

جادب زنده به غیر زنده تبدیل می گردد، در ادامه این بیوماس ها خشک و آسیاب می شوند و بدین صورت جاذب غیر زنده خام بوجود می آید [۱۱]. جاذب های بیولوژیکی غیر زنده بر طبق قوانین جذب فیزیکی (مانند لانگمیور و فرندلیچ) به حذف رنگراها می پردازند و همان طوری که ذکر شد فرآیند حذف آنها سریع (طی چند دقیقه) و مستقل از چرخه متابولیک سلولی می باشد. به عبارتی رنگراها به دیواره سلول های مرده جاذب متصل می شوند که سرعت، شدت و ظرفیت این اتصال، اصولاً به نوع جاذب بیولوژیکی، بار جاذب و رنگزا و گروه های عاملی موجود در سطح جاذب بستگی دارد. به عنوان مثال کورینوباکتریوم گلوتامیکوم<sup>۵</sup> که متعلق به گروه آکتینومیستها می باشد و به طور وسیع برای تولید اسیدهای آمینه به کار می رود در مطالعاتی برای جذب بیولوژیکی رنگراهای راکتیو به کار رفته است. دیواره سلولی ک. گلوتامیکوم<sup>۶</sup> شامل گروه هایی مانند کربوکسیل، فسفونات و آمین می باشد این گروه های فعال به خصوص گروه های آمین در سطح توده سلولی یا جاذب بیولوژیکی توانایی اتصال به انواع مختلف رنگراهای راکتیو را دارند [۱۲، ۱۳] فرآیند جداسازی میکروبی در سلول ها در ۴ ناحیه از سلول اتفاق می افتند که عبارتند از: جذب از طریق تجمع در سطح سلول، جذب بر روی دیواره سلول، جذب در غشاء سلول، جذب درون سلولی و متدائل ترین نوع جذب میکروبی جذب سطحی بیولوژیکی است و زمانی اتفاق می افتند که اتم ها یا مولکول ها یک فاز به طور یکنواخت بر روی فاز دیگر رسوب نمایند [۱۳]. این نوع جذب به دو شکل جذب فیزیکی و شیمیایی صورت می پذیرد.

## ۱- جذب فیزیکی

در این حالت مولکول های جذب شده می توانند در فصل مشترک بین دو فاز حرکت کنند. به آن جذب ایده اآل نیز می گویند و این جذب به کمک نیروی واندروالس<sup>۷</sup> می باشد.

<sup>5</sup> Corynebacterium Glutamicum

<sup>6</sup> C. glutamicum

<sup>7</sup> Van der waals

## ۲- pH مورد نیاز برای رشد قارچ ها

بهترین pH برای رشد قارچ ها pH=۷ می باشد. برخی از قارچ ها مانند مخمرها pH=۲ هم می توانند زندگی کنند. قارچ ها همگی در رنگ آمیزی (گرم مثبت) بنخش یا آبی رنگ هستند. قارچ ها هواری یا بی هواری اختیاری هستند و در مقادیر کم O<sub>2</sub> هم می توانند زندگی کنند. قارچ ها با آب و هوای متفاوت سازگاری دارند و در تمام شرایط آب و هوایی قادر به زندگی می باشند.

## ۳- نحوه زندگی قارچ ها

۱- زندگی همزیستی<sup>۱</sup>: زندگی مسالمت آمیز با دیگر موجودات مثل همزیستی قارچ با جلبک و قارچ با غلات که منجر به جذب و ثبیت نیتروژن و مواد معدنی و آلی در گیاهان می گردد.

۲- زندگی همسفرگی<sup>۲</sup>: شکلی از همزیستی که دو ارگانیسم به طوری در ارتباطند که یکی سود می برد و دیگری نه سود و نه ضرر مثل مخمرهای دستگاه گوارش.

۳- زندگی ساپروفیتی<sup>۳</sup>: اکثر قارچ ها ساپروفیت هستند و در خاک و آب بسر برده و مواد غذایی خود را از مواد آلی که روی آن زندگی می کنند به دست می آورند.

۴- زندگی انگلی<sup>۴</sup>: که در خارج یا داخل بدن میزبان می توانند زندگی کنند در نتیجه ممکن است موجب بیماری شوند [۹، ۱۰].

## ۴- سازوکار جذب بیولوژیکی

برای تهیه جاذب های بیولوژیکی غیر زنده (قارچ های غیر زنده)، ابتدا به جمع آوری و یا تولید انواع زنده آنها مبادرت می شود. برخی از انواع جاذب های بیولوژیکی نظیر گونه هایی جلبک ها، سرخس ها و غیره را می توان به صورت و میکرو ارگانیسم ها را می توان همانند قارچ ها در شرایط آزمایشگاهی کشت داد. بر روش هایی مانند جوشاندن در سود، فرمالدئید و اسید و انوکلاو کردن

<sup>1</sup> Symbiosis

<sup>2</sup> Commensalism

<sup>3</sup> Saprophytic

<sup>4</sup> Parasitic



شکل ۱- تصاویر قارچ پنی سیلیکوم.



**۲-۳- جذب شیمیایی**

جذب شیمیایی که جذب فعال نیز نامیده می‌شود مثل اکسیداسیون - احیاء، عمدها تعبین اینکه جذب در هر منفذ از سلول به وسیله کدام نوع جذب صورت می‌پذیرد، به‌سادگی امکان‌پذیر نمی‌باشد و ممکن است شامل هر سه نوع جذب فوق باشد ولی آنچه که مشخص است اینکه در سه حالت، جذب از طریق تجمع در سطح سلول، جذب بر روی دیواره سلول و همچنین جذب در غشاء سلول، جذب به صورت برگشت‌پذیر بوده و بازیابی آن امکان‌پذیر می‌باشد.

اما جذب درون سلولی برگشت‌ناپذیر بوده و بازیابی آن امکان‌پذیر نیست. این نوع سازوکار معمولاً زمانی که سمتی آلاینده‌ها خیلی بالا باشد رخ می‌دهد که این ناشی از افزایش نفوذ‌پذیر آلاینده‌ها در غشاء و همچنین به‌واسطه فعل و انفعالاتی که در اثر سمتی آلاینده رخ می‌دهد، می‌باشد. این نوع جذب به آهستگی صورت می‌پذیرد در حالی که در جذب برگشت‌پذیر سرعت جذب نسبتاً بالاست. سازوکار اتصال به دیواره سلولی و اتصال بیرون سلولی در سلول‌های غیر زنده و در حالی که سازوکار جذب درون سلولی فقط در سلول‌های زنده مشاهده شده است [۱۳]. در طراحی فرآیند جذب سطحی تعیین مرحله محدودکننده جذب یکی از مهم‌ترین عوامل است. معمولاً در جذب یک آلاینده بر روی جاذب چهار مرحله اتفاق می‌افتد: نفوذ توده‌ای، نفوذ لایه‌ای، جذب بر روی سطح جاذب و نفوذ بین ذره‌ای. معمولاً سه مرحله اول به عنوان مرحله نفوذ خارجی نامیده می‌شوند. نفوذ توده‌ای و جذب بروی سطح جاذب بسیار سریع اتفاق می‌افتد و از این رو مرحله تعیین کننده در جذب سطحی نیستند. بنابراین لازم است که برای مشخص کردن سازوکار جذب آلاینده بر روی جاذب از مدل نفوذ بین ذره‌ای استفاده گردد. معادله ۱ نفوذ بین ذره‌ای را نشان می‌دهد:

$$(1) \quad q_t = k_i t^{0.5} + c$$

در این رابطه،  $k_i$  نشان دهنده ثابت سرعت نفوذ بین ذره‌ای و ضف نشان‌دهنده مقدار غلظت رنگ در حالت تعادل در زمان‌های مختلف می‌باشد.  $c$  از رسم مقدار  $q$  در مقابل  $t^{0.5}$  به دست می‌آید. اگر این منحنی از مرکز نمودار عبور کند مدل نفوذ بین ذره‌ای مرحله تعیین کننده سرعت است [۱۴].

**۴- عوامل موثر در جذب بیولوژیکی**

بررسی میزان کارایی روش جذب بیولوژیکی از جمله عوامل اساسی در استفاده صنعتی آن می‌باشد از این رو باید به مطالعه مهم‌ترین عوامل در

جذب بیولوژیکی که در طراحی تجهیزات صنعتی ضروری اند پرداخت:

۱- تغییرات دما: در محدوده  $20^{\circ}\text{C}$  الی  $30^{\circ}\text{C}$  تغییرات زیادی در بازدهی واکنش ایجاد نمی‌کند

۲- pH: از جمله اساسی‌ترین عوامل در جذب بیولوژیکی می‌باشد زیرا ساختار شیمیایی محلول را تحت تاثیر قرار می‌دهد و باعث فعال شدن گروه‌های عاملی در سطح می‌شود.

۳- غلظت بیومس: از جمله عوامل اساسی در جذب می‌باشد. در غلظت‌های پایین بیومس میزان جذب بالای مشاهده شده، ولی افزایش میزان بیومس باعث واکنش بین گروه‌های فعال بر روی سطح سلول می‌شود.

۴- مساحت سطح: خصوصیات فیزیکی در انتخاب مواد جاذب بسیار مهم هستند. یکی از خصوصیات قابل توجه در انتخاب جاذب، مساحت سطح مواد است. جاذبی که برای تصفیه پساب مورد استفاده قرار می‌گیرند. دارای تخلخل زیاد هستند. بزرگی مساحت سطح جاذب به ساختار تخلخل آن بستگی دارد. از خواص دیگر مساحت سطح که بر جذب سطحی تاثیر گذارند توزیع اندازه قطر ذرات می‌باشد. معیار اندازه‌گیری مساحت سطح در یک واحد حجم جاذب توسط روش (BET)<sup>۱</sup> انجام شده است [۱۵, ۱۶]

**۵- بهینه‌سازی روش جذب بیولوژیکی**

برای بهتر شدن روش‌های جذب بیولوژیکی می‌توان از روش تثبیت در بستر هم‌چنین استفاده از سیستم پیوسته (ستون) استفاده نمود.

با یک دید کلی از جاذب‌های میکروبی و پساب‌های زیستی می‌توان نتیجه‌گیری کرد که به علت اینکه آنها دارای قابلیت پیوند شدن با گروه‌های عاملی در رنگ‌ها را دارا هستند می‌توانند به صورت تکراری مورد استفاده قرار گیرند. ضرورتاً نیاز اصلی یک سیستم جذب‌کننده صنعتی این است که جاذب بتواند به صورت یک بستر ثابت شده یا گسترش یافته مورد استفاده قرار گیرد و فشار زیادی را در بستر ایجاد نکند که مستلزم درجه‌ای از پیش‌تیمار، اندازه‌بندی، تغییرات شیمیایی یا تشییت‌کردن می‌باشد این مسئله برای به دست آوردن یک ساختار مناسب جهت استفاده در راکتورهای بستر مورد هدف قرار گرفته و ممکن است جایگاه‌های اتصال ویژه رنگ‌ها را زیاد کند [۱۷]. به منظور حفظ قابلیت جذب رنگ‌ها توسط بیومس‌ها در طی فرآیندهای پیوسته صنعتی استفاده از یک روش تثبیت‌کننده اقتصادی مهم است. سلول‌های آزاد می‌توانند اطلاعات با ارزشی را در آزمایشات آزمایشگاهی ارائه دهند اما برای ایجاد ستون فشرده در کاربردهای صنعتی مناسب نیستند سلول‌های آزاد معمولاً دارای قدرت و نیروی مکانیکی کم و اندازه کوچک می‌باشد و فشار هیدرولستاتیک زیادی برای تولید میزان جریان مناسب نیاز دارند فشارهای بالا می‌تواند باعث تجزیه بیومس شود این مشکلات می‌تواند به وسیله استفاده از سیستم‌های سلولی تثبیت‌کننده برطرف شود.

بیومس تثبیت‌شده دارای مزایای بسیاری نظیر قابلیت استفاده مجدد بهتر، بارگیری بیشتر بیومس و کاهش انسداد در سیستم‌های جاری پیوسته می‌باشد [۱۸].

<sup>1</sup> Brunauer- Emmett- Teller

# مقاله

پلی ایزوپرین<sup>۸</sup> می‌باشد [۱۹، ۲۰]. به دام انداختن سلول‌ها توسط آلیژینات کلسیم نمی‌تواند ساده باشد. سلول‌ها در محلول آلیژینات سدیم ریخته می‌شوند و سپس با محلولی از نمک کلسیم مخلوط می‌گردد. ایجاد ژل سطحی لحظه‌ای است اما حداقل ۲۰ دقیقه زمان جهت تشکیل کامل ژل آلیژینات صرف می‌شود. جهت این عملیات هیچ گرمابی مورد نیاز نیست و سلول‌های ثابت شده، فعالیت‌های خیلی زیادی را در خود ذخیره می‌نمایند. نقش آلیژینات کلسیم به عنوان یک وسیله ثابت کننده مانند فسفات‌ها و این بدین معنی است که تولید دانه‌های آلیژینات کلسیم با ابعاد کمتر از ۵۰ دقیقه مشکل به نظر می‌رسد [۲۰، ۲۱].

## ۶- سدیم آلیژینات

ترکیب شیمیایی سدیم آلیژینات، نمک سدیم بدست آمده از اسید آلزنیک<sup>۹</sup> می‌باشد که فرمول شیمیایی آن  $\text{NaC}_6\text{H}_7\text{O}_6$  می‌باشد. این ترکیب به حالت صمنی شکل می‌باشد و از دیواره سلولی جلیک‌های قوههای استخراج می‌شود و توسط کارخانه‌های مواد غذایی به منظور بالا بردن گرانبروی و نیز به عنوان تعلیق‌کننده استفاده می‌شود. این پودر به رنگ زرد متمایل به قوههای و به حالت گرانول یا پودری شکل می‌باشد. این پودر به آهستگی در آب حل شده و به حالت محلول گرانبرو در می‌آید [۲۰].

## ۶-۳- روش تثبیت سلول‌های قارچی در آلیژینات

۶ گرم آلیژینات سدیم را در ۳۰۰ میلی لیتر آب مقطر ریخته شده برای حل کردن پودر آلیژینات سدیم مخلوط را بر روی گرمکن در دمای  $60^{\circ}\text{C}$  قرار داده تا پودر مذکور به طور کامل حل شود. پس از سردشدن محلول آلیژینات ۶ گرم بیومس پودر شده را به محلول اضافه شد. پس از اختلاط کامل بیومس و محلول آلیژینات در قیف جداکننده ریخته شد و به صورت قطره قطره به محلول کلرید کلسیم  $0/2$  مولار بر روی همزن قرار دارد اضافه شد. هر قطره پس از تماس با کلرید کلسیم پلیمریزه شده و به صورت گلوله‌های کوچکی در آمده قطر گوییچه‌های حاصل در حدود ۴ میلی متر به دست آمد. خارج کردن آهسته کلرید کلسیم  $0/2$  مولار قبلی و جایگزین کردن کلرید کلسیم  $0/2$  مولار تازه روی دانه‌های حاصل جهت سفت و محکم شدن آنها و نگهداری در دمای  $4^{\circ}\text{C}$  به مدت ۲۴ ساعت شستشوی گوییچه‌های حاصل با آب مقطر برای حذف یون‌های کلسیم اضافی به کار می‌رود، گوییچه‌های حاصل را می‌توان در داخل ستون یا راکتور پر کرد و پس از حاوی رنگزا را از آن عبور داد [۲۱، ۲۰]. (شکل ۲)

<sup>7</sup> Poly Sulfone

<sup>8</sup> polyisoprene

<sup>9</sup> Alginic acid

## ۶- روش‌های تثبیت سلولی<sup>۱</sup>

برای تثبیت سلولی، روش‌های فراوانی ایجاد شده است. بسیاری از آنها مستقیماً از روش آنزیم‌های بی‌حرکت استفاده می‌کنند. انتخاب روش مناسب بستگی به وضعیت فیزیولوژیکی سلول دارد.

روش‌های فعالی که پذیرفته شده‌اند و می‌توانند در هر موقعیت فیزیولوژیکی مورد استفاده قرار گیرند و آسان‌تر و ارزان‌تر عمل می‌کنند به شرح زیر است.

(۱) روش چسباندن

(۲) روش تله‌گذاری<sup>۲</sup>

(۳) روش محدود کردن سلول‌ها

(۴) روش اجتماع سلولی

روش مورد استفاده در این تحقیق روش تله‌گذاری می‌باشد که به مطالعه آن می‌پردازیم.

## ۶- روش تله‌گذاری

تله‌گذاری یکی از روش‌هایی است که بهوسیله آن می‌توان سلول‌ها را انواع مواد خلل و فرج دار، در محل به دام انداخت. ساختمان‌های متخلخلی که در محل ایجاد می‌شوند می‌توانند برای تثبیت انواع سلول‌ها مورد استفاده قرار گیرند و این عمل به صورتی است که در بعضی از وضعیت‌ها، ذرات کمکی تشکیل شده ممکن است به سلول‌ها آسیب برساند. در این روش به سلول‌ها اجازه داده می‌شود وارد منافذ شوند و خروج آنها از منافذ بسیار مشکل خواهد بود. این امر می‌تواند بر روی اجسامی با سطوح میکروسکوپی مانند آجر، سرامیک، شیشه و هر جایی که اندازه منافذ از نظر ابعاد شیشه سلول‌ها است، انجام شود و یا بر روی سطوح ماکروسکوپی که دارای منافذ بزرگ هستند انجام پذیرد (بیش از  $0.1\text{ nm}$ ). این ذرات دارای ساختمان‌های گستره بزرگی از مفتون فولادی ضد زنگ هستند که به صورت کره در می‌آیند و یا از اسفنج‌های مشبکی از جنس پلی یورتان هستند که بصورت مکعب می‌باشد. تثبیت کردن این ذرات به اندازه توانایی سلول‌ها برای اتفاق و یا چسبیدن به لبه‌های مواد کمکی در داخل ساختمان بستگی دارد و باید در نظر داشت که تله قفسه‌ای به تله منفذی ارجحیت دارد [۲۰، ۲۱]. متدائل ترین شکل ثبات سلولی، که حداقل در آزمایشگاه مورد استفاده قرار می‌گیرد، شامل تله‌های سلولی در داخل خلل و فرجی است که در اطراف سلول‌ها تشکیل می‌شود. سلول‌ها به شکل دوغاب یا مواد چسبی، عموماً با ترکیبی مخلوط می‌شوند که در نهایت به صورت ژله‌ای در می‌آیند و تشکیل یک بستر متخلخل را می‌دهند. امروزه عمدۀ روش‌های به کار گیری تله محلی، شامل استفاده از ژله‌های پلی ساکاریدی است که شامل: پاکاراجیمان<sup>۳</sup>، آگار<sup>۴</sup>، آلیژینات کلسیم<sup>۵</sup>، پلی وینیل الکل<sup>۶</sup>، پلی سولفون<sup>۷</sup>،

<sup>1</sup> Cell Stabilizers

<sup>2</sup> Trapping

<sup>3</sup> Pakarajman

<sup>4</sup> Agar

<sup>5</sup> Calcium Alginate

<sup>6</sup> Polyvinyle Alcohol (PVA)



شکل ۲- گویچه‌های آژرینات بعد از تثبیت سلولی با قارچ مرده.

در سیستم پج آزمایشاتی برای بهینه کردن عواملی مانند pH، مقدار جاذب و غلظت رنگزا انجام گردید. داده های مطالعه تاثیر pH نشان داد که این عامل بر ویژگی های سطح جاذب و درجه یونیزاسیون و بازده جذب تاثیر گذار است و با توجه به نتایج مشخص می شود که با افزایش pH، درصد جذب کاهش می یابد و یا می توان گفت که در pH اسیدی (pH=1) جذب بیشتری را موجب می شود. رنگزا RB49 دارای گروه عاملی سولفونات است که در آب یونیزه شده و موجب آبیونی شدن رنگزا می شود. با توجه به آنالیز FTIR مشخص شده که در سطح قارچ ها گروه های عاملی هیدروکسیل، کربوکسیل، آمین و آمید می باشد، با افزایش pH باعث افزایش بار آبیونی سطح ذرات قارچ شده و در نتیجه نیروهای دافعه بین جاذب و مولکول رنگزا افزایش می یابد که سبب کاهش میزان جذب رنگزا RB49 بر سطح جاذب می شود. از عوامل موثر دیگر در مقدار جذب، مقدار جاذب مورد استفاده می باشد. که به این منظور فرآیند جذب در حضور مقادیر مختلف جاذب مورد مطالعه قرار گرفت. بر اساس نتایج مشاهده شد که با افزایش میزان بیوماس جذب افزایش یافته بعد از مقدار بهینه ثابت باقی می ماند که در این آزمایشات از ۰/۲ تا ۳ گرم جذب افزایش یافته ولی در ۳ گرم به بعد مقدار جذب کاهش می یابد. به این دلیل که با افزایش مقدار جاذب سطوح قابل دسترس جاذب و مکان های بیوندی افزایش می یابد. در بررسی اثر غلظت رنگزا نشان می دهد که با افزایش مقادیر اولیه محلول رنگی میزان بازده حذف کاهش، اما ظرفیت جذب بیوجاذب افزایش می یابد. علت این امر احتمالاً این است که با افزایش بار سطحی (مواد جذب شونده) روی جاذب، به سرعت مکان های جذب سطوح بالایی روی جاذب اشباع شده و بازده حذف ماده جاذب کاهش می یابد. علت افزایش ظرفیت جذب جاذب ها با افزایش غلظت اولیه رنگ احتمالاً به خاطر افزایش برخورد و تماس بین جاذب و جذب شونده می باشد. برای انجام عملیات جذب در سیستم پیوسته از ستون شیشه ای استفاده می شود که با قرار دادن در لایه از پشم شیشه در ستون قارچ یا جاذب را داخل ستون قرار دهند. در این سیستم دو عامل دبی و اثر ارتفاع بررسی می گردد. با افزایش سرعت جریان میزان درصد حذف کاهش می یابد. با افزایش سرعت جریان ورودی به درون راکتور زمان داده شده برای جذب کاهش می یابد و سیستم سریع تر اشباع می شود ولی با سرعت جریان وردی کمتر، میزان رنگزا جذب شده افزایش می یابد. از سوی دیگر در سرعت جریان بالاتر فقط از نظر صرفه جویی در زمان دارای اهمیت می باشد. نتایج حاصل از بررسی ارتفاع نشان می دهد که با افزایش ارتفاع به علت زیاد شدن زمان تماس بین یون های محلول و سطح جاذب درصد حذف رنگزا افزایش می یابد چون مکان های فعل و گروه های یونی بیشتری از سطح بیوماس در دسترس می باشد [۲۲].

در مطالعاتی دیگر نیز برای حذف متیلن آبی از بیوماس کورینوباکتریوم گلوتامیکوم گزارش شده است در حذف این رنگزا نیز آزمایشاتی در سیستم پج برای بهینه کردن عواملی مانند pH، مقدار جاذب و غلظت رنگزا انجام گرفته و مشخص گردید که این رنگزا در آب یونیزه شده و به کاتیون تبدیل می گردد. آزمایش های جذب به منظور اثر pH در مقادیر

## ۷- بحث و بررسی نمونه هایی از جذب بیولوژیکی رنگزاها توسط قارچ ها

در مطالعاتی برای حذف رنگزا راکتیو آبی<sup>۱</sup> (RB49)، از مخلوط دو نوع قارچ در سیستم پج و پیوسته استفاده شده است. در این کار ابتدا دو نمونه قارچ آگاریکوس بیسپورس<sup>۲</sup> و تoga اورینتالیس<sup>۳</sup> را تهیه کردیم و این نمونه ها را با آب یونیزه به علت کاهش ناخالصی های موجود در بیوماس ها شستشو می دهیم و بعد در دمای ۸۰ °C به مدت ۲۴ ساعت در آون قرار می دهیم تا خشک شوند، دو قارچ آگاریکوس بیسپورس و تoga اورینتالیس را به نسبت ۱:۲ با هم مخلوط می کنیم و حدود ۵ میلی لیتر آب یونیزه ریخته تا خمیری شود و سپس طور کامل مخلوط کرده و خشک می کنیم این عمل شستن و خشک کردن را چندین بار انجام می دهیم تا بازده جذب جاذب ها افزایش یابد و بعد از خشک کردن مخلوط قارچ ها را در ظروف شیشه ای برای آزمایشات نگهداری می کنیم. میزان رنگزا جذب شده در حالت تعادل توسط رابطه ۲ محاسبه می شود [۱۷].

$$q = \frac{C_i - C_e}{M} * V \quad (2)$$

C<sub>i</sub>: جرم رنگزا جذب شده بر وزن بیوماس مرده (mg/g)  
C<sub>e</sub>: غلظت رنگزا باقیمانده در محلول در حالت تعادل بعد از جذب (ppm)

C: غلظت اولیه رنگزا قبل از جذب (ppm)  
V: حجم محلول (L)

M: جرم بیوماس مرده (جاذب) (gr)  
y: مقدار درصد جذب در غلظت های مختلف از رابطه ۳ پیروی می کند:  
[۱۱]

$$y = \frac{C_i - C_e}{C_i} * 100 \quad (3)$$

<sup>1</sup> Reactive Blue 49

<sup>2</sup> Agaricusbisporus

<sup>3</sup> Thujaorientalis

# مقاله

## مروری بر جذب بیولوژیکی رنگزاهای بهوسیله قارچ‌های غیر زنده

موجود بوده و هر کدام از این سایت‌ها قادر به جذب یک مولکول می‌باشد، بنابراین لایه‌های جذب شده دارای ضخامت یک مولکول خواهد بود. به علاوه، فرض می‌شود که همه مکان‌های جذب تمایل یکسان برای مولکول‌های ماده جذب شونده دارند و همچنین حضور مولکول‌های جذب شده روی یک سایت بر جذب سطحی مولکول‌ها در مکان مجاور تاثیری ندارد. مدل جذب لانگمویر را می‌توان به صورت رابطه‌های ۴ و ۵ بیان نمود [۲۳، ۲۴].

$$q = \frac{b q_{\max} C_e}{(1 + b C_e)} \quad (4)$$

$$\frac{1}{q} = \left( \frac{1}{b q_{\max}} \right) \left( \frac{1}{C_e} \right) + \frac{1}{q_{\max}} \quad (5)$$

$q_{\max}$  بیشینه مقدار رنگزای جذب شده در هر واحد از بیومس (mg/g) و مقدار رنگزای جذب شده بر حسب میلی گرم بر گرم،  $C_e$  غلظت تعادلی (mg/l) و  $b$  ثابت تعادل اندازه‌گیری شده به طریقه تجربی (mg/l) است. در رابطه لانگمویر هرگاه  $q/q_{\max}$  نسبت به  $1/C_e$  رسم شود، شیب نمودار  $\frac{1}{b q_{\max}}$  و عرض از مبدأ  $\frac{1}{q_{\max}}$  می‌باشد.

### ۲-۱-۸- مدل فرندلیش

در مدل ایزوترم فرندلیش، یک سطح ناهمگن با توزیع غیریکنواختی از گرمای جذب در روی سطح، فرایند جذب را انجام می‌دهد این مدل به صورت رابطه‌های ۶ و ۷ می‌باشد.

$$q_e = K_F C_e^{1/n} \quad (6)$$

$$\ln q_e = \ln K_F + \left( \frac{1}{n} \right) \ln C_e \quad (7)$$

که در آن  $q_e$  برابر میزان میلی گرم جذب شده به ازای واحد وزن (یک گرم) ماده جاذب،  $K_F$  ظرفیت جذب سطحی در واحد غلظت  $C_e$  (mg/g)(l/mg)<sup>1/n</sup> بار تعادلی روی جاذب (mg/g) و  $1/n$  شدت جذب سطحی که به طور تجربی اندازه‌گیری می‌شود و گاه تحت عنوان  $\beta$  (بدون بعد) گزارش می‌شود.

معادله فرندلیش با فرض یکسان نبودن انرژی مکان جذب روی ماده جاذب و جذب چند لایه‌ای ماده جذب شونده بنا نهاده شده است. در این رابطه هرگاه مقدار  $\ln q_e$  بر اساس  $\ln C_e$  رسم شود و شیب معادله  $1/n$  عرض از مبدأ آن  $\ln K_F$  می‌باشد. برای مواد جذب شده برگشت پذیر،  $1/n$  (شیب خط) صفر است. برای مواد شیمیایی که به طور مطلوبی جذب شده‌اند،  $1/n$  بین صفر و یک است. و اگر  $1/n$  بزرگتر از یک باشد نامطلوب است [۲۳، ۲۴].

۳-۸ بررسی شد و با توجه به نتایج جاذب در مقادیر pH بالای ۶ به ماده رنگزای بازیک تمایل پیدا کند. با افزایش pH، مقدار رنگزایی نیز افزایش یافته است. افزایش pH باعث می‌شود تا گروه‌های آمین دارای بار مثبت موجود در جاذب کمتر شوند و گروه‌های کربوکسی ایجاد شده بر روی آن فعال تر شوند و با مولکول‌های دارای بار مثبت ماده رنگزای پیوند الکترواستاتیکی برقرار نمایند، و در نتیجه مقدار رنگزایی نیز افزایش می‌یابد.

نتایج حاصل از اثر مقدار جاذب و غلظت رنگزای همانند نتایج جذب بیولوژیکی RB49 توسط دو قارچ نامبرده بود. ولی در سیستم پیوسته جذب بیولوژیکی رنگزای متیلن آبی، جاذب ک. گلوتامیکوم را در پلی سولفون تشییت کردیم و سپس در داخل ستون که دارای قطر داخلی و ارتفاعی معین می‌باشد، پر می‌کنیم و در این سیستم اثر دی و ارتفاع را بررسی کردیم که همانند نتایج جذب بیولوژیکی RB49 می‌باشد [۱۷].

### ۷-۱- عملیات دفع و بازیافت مجدد قارچ استفاده شده

از مزایای استفاده از قارچ‌ها و بیومس‌های دیگر این می‌باشد که می‌توان رنگزای جذب شده توسط قارچ را از آن جدا کرده و با این عمل می‌توان مجدد برای عملیات جذب از قارچ استفاده نمود. مقدار قارچی را که در جذب سطحی رنگزای استفاده شده و حاوی رنگزای است را با میلی لیتر ۵۰ نیتریک اسید ( $HNO_3$ ) و یا اسید سولفوریک ۲ نرمال مخلوط کردیم و در دمای  $60-80^{\circ}\text{C}$  به مدت ۲ ساعت روی شیکر با سرعت  $150 \text{ rpm}$  قرار دادیم. سپس قارچ را صاف کرده و با آب قطر آنقدر شستشو دادیم که pH آن به حالت خنثی رسید و در دمای  $60-80^{\circ}\text{C}$  در خشک کردیم [۱۷].

### ۸- بررسی معادلات مورد استفاده در جذب بیولوژیکی در

#### ۸-۱- سیستم ناپیوسته

#### ۸-۲- بررسی ایزوترم‌های جذب سطحی

برای بررسی نتایج آزمایش‌های جذبی در سیستم ناپیوسته از ایزوترم‌های جذبی فروندلیش<sup>۱</sup>، لانگمیر<sup>۲</sup>، تمکین<sup>۳</sup> استفاده شده است.

#### ۸-۳- مدل لانگمیر

معادله لانگمویر به برهم‌کنش بین جاذب و ماده جذب شونده به عنوان یک واکنش شیمیایی تک لایه، برگشت‌پذیر و خطی مربوط می‌شود. این رابطه توسط لانگمویر در ۱۹۱۵ بیان شد، این معادله یک مدل نسبتاً آسان است و فرض می‌شود که سطح جاذب به طور کامل یکنواخت بوده و هر سایت جاذب می‌تواند حداقل یک مولکول جذب شونده را محصور نماید و هیچ برهم‌کنشی بین مولکول‌های جذب شونده وجود ندارد. این ایزوترم بر این فرض استوار است که نقاطی از ظرفیت روی سطح جاذب

<sup>1</sup> Freundlich

<sup>2</sup> Langmuir

<sup>3</sup> Temkin

سرعت اشغال مکان‌های جذب، متناسب با مجدور تعداد مکان‌های اشغال نشده است و به صورت رابطه ۱۲ می‌باشد [۲۶، ۲۷].

$$\frac{dq}{dt} = K_2 (q_e - q_t)^2 \quad (12)$$

که در آن با انتگرال‌گیری از رابطه ۱۲ و اعمال شرط اولیه  $q(0) = 0$  رابطه ۱۳ به دست می‌آید:

$$\frac{t}{q_t} = \frac{1}{K_2 q_e^2} + \frac{1}{q_e} t \quad (13)$$

در این رابطه  $K_2$  ثابت سرعت واکنش  $\frac{gr}{mg \text{ min}}$  می‌باشد. با رسم نمودار  $t/q_t$  بر حسب  $t$  که از داده‌های آزمایشی به دست می‌آیند، مقدار  $q_e$  و  $K_2$  را می‌توان از شبیه و عرض از مبدأ خط حاصل تعیین کرد. در این رابطه  $K_2$  ثابت سرعت واکنش  $\frac{gr}{mg \text{ min}}$  می‌باشد. با رسم نمودار  $t/q_t$  بر حسب  $t$  که از داده‌های آزمایشی به دست می‌آیند، مقدار  $q_e$  و  $K_2$  را می‌توان از شبیه و عرض از مبدأ خط حاصل تعیین کرد.

#### ۹- رابطه‌های ریاضی در سیستم پیوسته

مدل‌های ریاضی بسیاری به منظور بررسی داده‌های تجربی حاصل با داده‌های تئوری در سیستم پیوسته ارائه شده است. از جمله مهم‌ترین و پرکاربردترین رابطه‌های توماس، یان می‌باشد. مدل توماس بر اساس بقای جرم (توماس ۱۹۴۸) و با این فرض که تعادل جذب از مدل لانگمیر بدون پراکنش محوری پیروی می‌کند (بارال و همکارانش ۲۰۰۹)، توسعه یافته است. مدل ریاضی توماس به شکل رابطه ۱۴ است:

$$\ln\left(\frac{C_o}{C}\right) = \frac{K_{TH} q_m M}{Q} - \frac{K_{TH} C_o V}{Q} \quad (14)$$

در این رابطه  $q_m$  که بیانگر بیشینه غلظت جذب شده در واحد جرم مواد ستون جاذب  $\left[\frac{mg}{g}\right]$ ،  $K_{TH}$  ضریب سینتیکی یا ثابت نرخ جذب توماس  $Q$  [mL]،  $M$  مقدار جاذب gr،  $V$  حجم‌های خروجی از ستون  $\text{min mg}$

$$\text{دبی وردی} = \frac{C_o}{C} \text{ غلظت ورودی به ستون} = \frac{\frac{mL}{\text{min mg}}}{\frac{mg}{l}} \text{ خروجی از ستون} = \frac{mg}{l}, \text{ است} \quad (11)$$

#### ۱۰-۳- مدل تمکین

این مدل برهم‌کنش بین نمونه‌های جاذب و جذب‌شونده را در نظر می‌گیرد. در این ایزوترم فرض می‌شود که ۱) گرمای جذب کلیه مولکول‌ها در لایه به صورت خطی بدیل برهم‌کنش جاذب و جذب شونده کاهش می‌یابد و ۲) جذب با توزیع یکنواختی از انرژی‌های پیوندی مشخص می‌شود. هم‌دمای تمکین به این صورت به دست می‌آید [۲۵] (رابطه ۸).

$$q_e = RT \ln(AC_e)/b \quad (8)$$

با در نظر گرفتن  $RT/b = B$  یک شکل خطی هم‌دمای تمکین به صورت رابطه ۹ خواهد بود:

$$q_e = B \ln A + B \ln C_e \quad (9)$$

در این رابطه  $A$  بر حسب (l/mg) معادل ثابت پیوند و مرتبط با بیشینه انرژی پیوند است،  $b$  بر حسب (J/mol) ثابت هم‌دمای تمکین،  $R$  ثابت جهانی گازها (۸.۳۱۴ J/mol.K)،  $T$  دمای مطلق بر مبنای کلوین و ثابت  $B$  (بدون واحد) متناسب با گرمای جذب سطحی است.

#### ۱۱- بررسی مدل‌های سینتیکی

به منظور بررسی روند سازوکار جذب بیولوژیکی از مدل‌های سینتیکی درجه اول و درجه دوم استفاده شد. مدل سینتیکی شبه مرتبه اول نشان می‌دهد که نفوذ از داخل یک لایه اتفاق می‌افتد و بر مبنای ظرفیت جامد می‌باشد که در آن تغییرات در مقدار جذب با زمان، متناسب با تعداد مکان‌های اشغال نشده در سطح جاذب است. مدل سینتیکی مرتبه اول به صورت رابطه ۱۰ است [۲۶، ۲۷]:

$$\frac{dq}{dt} = K_1 (q_e - q_t) \quad (10)$$

که در این رابطه  $q_e$  و  $q_t$  به ترتیب میزان جذب رنگزا در زمان تعادل و زمان  $t$  و بر حسب  $\text{mg/g}$  بوده و  $K_1$  ثابت سرعت واکنش درجه اول بر حسب  $\text{min}^{-1}$  است با انتگرال‌گیری از رابطه ۱۰ و اعمال شرط اولیه  $q(0) = 0$  رابطه ۱۱ به دست می‌آید.

$$\log(q_e - q_t) = \log q_e - \frac{K_1 t}{2.303} \quad (11)$$

که در آن مقدار عددی  $K_1$  با رسم منحنی خطی  $\log(q_e - q_t)$  به صورت تابعی از  $t$  محاسبه می‌شود. مدل سینتیکی مرتبه دوم نشان می‌دهد که جذب شیمیایی مرحله کندکننده سرعت است و فرآیندهای جذب سطحی را کنترل می‌کند و بر مبنای جذب فاز جامد می‌باشد که در آن

# مقاله

مواد گران قیمت ندارند این روش‌ها بازده عمل بالای دارند و زمان جذب و حذف آلاینده در این شیوه بسیار کوتاه‌تر از روش‌های شیمیایی است. همچنین سادگی در عملکرد یکی دیگر از ویژگی‌های این روش است. با مطالعات انجام شده مشخص شده است که بیوماس‌های غیر زنده قابلیت استفاده بهتری در مقایسه با انواع زنده جهت حذف آلاینده‌های رنگی را دارند، ضمن اینکه کنترل عوامل فرآیند حذف به موسیله انواع غیر زنده آسان‌تر می‌باشد. رنگزهاها به گروه‌های عاملی موجود در سطح بیومس اتصال می‌یابند و بدین ترتیب جذب بیولوژیکی صورت می‌گیرد. برای بهتر شدن روش‌های جذب بیولوژیکی می‌توان از روش ثبیت سلولی در پستر استفاده نمود، سدیم آرژینات و پلی سولفون یکی از مواد ثبیت کننده بیومس‌ها می‌باشد که باعث افزایش بازده جذب در مدت زمان کم می‌شود. در ضمن رنگزای جذب شده توسط قارچ را می‌توان با قرار دادن در محلول اسید کلریدریک یا اسید نیتریک ۲ نرمال، دوباره از آن جدا کرده و با این عمل می‌توان مجدداً برای عملیات جذب از قارچ استفاده نمود. این عمل یکی از مزیت‌های جذب بیولوژیکی می‌باشد، حتی جاذبهای ثبیت شده که به صورت گوییچه هستند را نیز می‌توان با شستشو دادن با اسیدهای نامبرده دوباره بازیافت کرد. در سیستم ناپیوسته برای بررسی ایزوترم جذب از مدل‌های فرندولیش و لانگمیر و بررسی سنتیکی جذب از معادلات درجه اول و دوم استفاده می‌شود. مدل‌های ریاضی بسیاری به منظور بررسی داده‌ها در سیستم پیوسته ارائه شده است. از جمله مهم‌ترین و پرکاربردترین رابطه‌های توomas و یان می‌باشد.

:Yun مدل

در این مدل فرض می‌شود، نرخ کاهش بخش جذب شده رنگزا موجود در محلول ( $dY/dt$ ) متناسب با میزان رنگزای جذب شده ( $Y$ ) و بخش باقیمانده در محلول ( $X=C/C_0$ ) است:

$$-\frac{dY}{dt} = K_{YN} Y X \quad (15)$$

با توجه به این که  $Y=1-X$  است، با قرار دادن  $X=0.5$  به ازای  $t=$  (زمان استوکیومتری) و انتگرال گیری از رابطه ۱۵، رابطه ۱۶ به دست می‌آید:

$$\ln\left(\frac{C}{C_0 - C}\right) = tk_{YN} - tk_{YN} \quad (16)$$

در این رابطه  $K_{YN}$  ضریب سینتیکی یا ثابت نرخ جذب ( $\text{min}^{-1}$ ) می‌باشد و  $\tau$  نشان دهنده زمانی است که در آن غلظت خروجی بیانگر نصف غلظت ورودی می‌باشد،  $C_0$  غلظت ورودی به ستون بر حسب (mg/l) و  $C$  غلظت خروجی از ستون (mg/l) است. نمودار تجربی  $\ln\left(\frac{C}{C_0 - C}\right)$  بر اساس زمان‌های نمونه‌برداری (t) رسم می‌شود [۱۱].

## ۱۰- نتیجه‌گیری

در این مقاله حذف رنگزهاها موجود در پساب‌ها توسط میکروارگانیسم بخصوص قارچ‌ها بررسی گردید. روش‌های جذب بیولوژیکی به مراتب کم هزینه‌تر نسبت به روش‌های شیمیایی می‌باشند. زیرا نیازی به دستگاه‌ها و

## ۱۱- مراجع

- W. Coa, M. Mehrvar, "Slaughterhouse wastewater treatment by combined anaerobic baffled reactor (ABR) and UV/H<sub>2</sub>O<sub>2</sub> processes", Chem. Eng. Res. Des., 89 (7), 1136-1143, 2011.
- S. M. D. A. Guelli-Ulson-de-Souza, K. A. S. Bonilla, A. Augusto-Ulson-de-Souza, "Removal of COD and color from hydrolyzed textile azo dye by combined ozonation and biological treatment", J. Hazard. Mater. 179, 35-42, 2010.
- A. Dixit, A. J. Tirpude, A. K. Mungay, M. Chakraborty, "Degradation of 2, 4 DCP by sequential biological-advanced oxidation process using UASB and UV/TiO<sub>2</sub>/H<sub>2</sub>O<sub>2</sub>", Desalin. 272, 265-269, 2011.
- S. Gul, O. Ozcan-Yildirim, "Degradation of Reactive red 194 and Reactive yellow 145 azo dyes by O<sub>3</sub> and H<sub>2</sub>O<sub>2</sub>/UV-C processes", J. Chem. Eng. 155, 684-690, 2009.
- L. N. Du, B. Wang, G. Li, S. Wang, D. Crowley, Y. H. Zhao, "Biosorption of the metal-complex dye acid black 172 by live and heat-treated biomass of Pseudomonas sp. strain DY1; Kinetics and sorption mechanisms", J. Hazard. Mater., 205, 47-54, 2012.
- Y. Yang, G. Wang, B. Wang, Z.S. Li, X. Jia, Q. Zhou, Y. Zhao, "Biosorption of Acid black 172 and Congo red from aqueous solution by nonviable penicillium YW 01: Kinetic study, equilibrium isotherm and artificial neural network modeling", Biore sour. Technol. 102, 827-834, 2011.
- K. Kumari, T. E. Abraham, "Biosorption of anionic textile dyes by nonviable biomass of fungi and yeast", Biore sour. Technol. 98, 1704-1710, 2007.
- K. Vijayaraghavan, M. W. Lee, Y. S. Yun, "A new approach to study the decolorization of complex reactive dye bath effluent by biosorption technique", Biore sour. Technol., 99, 5778-5785, 2008.
- A. Homei, "Specialization and medical mycology in the US, Britain and Japan", Stud. Hist. Phil. Biol. & Biomed. Sci. 39, 80-92, 2008.
- L. Lange, "The importance of fungi for a more sustainable future on our planet, fungal biology reviews", 24, 90-92, 2010.
- R. Marandi, "Biosorption of Hexavalent Chromium from Aqueous Solution by Dead Fungal Biomass of Phanerochaete corynosporum: Batch and Fixed Bed Studies", J. Chem. Eng. Technol. 2, 8-22, 2011.
- T. Akar, S. Celik, S.T. Akar, "Biosorption performance of surface modified biomass obtained Pyracanthacoccinea for the decolorization of dye contaminated solution", Chem. Eng. J., 160, 466-472, 2010.
- K. Vijayaraghavan, Y. S. Yun, "Bacterial biosorbent and biosorption", Biotechnol. Adv. 26, 266-291, 2008.
- M. R. Samarghandi, M. NooriSepehr, M. Zarrabi, M. Norouzi, F. Amraie, "Mechanism and Removal efficiency of C. I. Acid Blake 1 by Pumice stone adsorbent", Iran. J. Health & Environ. 3, 399-410, 2011.

15. R. Leena, D. Raj Selva, "Bio-decolourization of textile effluent containing reactive black-b by effluent- adapted and non-adapted bacteria", Afr. J. Biotechnol. 7 (18), 3309-3313, **2008**.
16. T. Akar, B. Anilan, A. Gorgulu, S. T. Akar, "Assessment of cationic dye biosorption characteristics of untreated and non-conventional biomass: Pyracanthacoccineaberries", J. Hazard. Mater. 168, 1302-1309, **2009**.
17. K. Vijayaraghavan, J. Mao, Y. S. Yun, "Biosorption of methyle blue from aqueous solution using free and poly sulfone-immobilized corynebacteriumglutamicum: Batch and column studies", Bioresour. Technol. 29, 2864-2871, **2008**.
18. X. F. Sun, S. G. Wang, W. Cheng, M. Fan, B. H. Tian, "Enhancement of acidic dye biosorption capacity on poly (ethylenimine) grafted anaerobic granular sludge", J. Hazard. Mater. 189, 27-33, **2011**.
19. J. F. Gao, Q. Zhang, J. h. Wang, X. L. Wu, S. Y. Wang, Y. Z Peng, "Contributions of functional groups and extracellular polymeric substances on the biosorption of dyes by aerobic granules", Bioresour. Technol. 102, 805-813, **2011**.
20. B. Preetha, T.Viruthagiri, "Batch and continuous biosorption of chromium (VI) by RhizopusArrhizus", Sep. Purif. Technol., 57, 126-133, **2007**.
21. G. Bayramoglu, G. Celik, M. Y. Arica, "Biosorption of Reactive blue 4 dye by native and treated fungusPhanerocheatechrysosporium: Batch and continuous flow system studies", J. Hazard. Mater. B137, 1689-1697, **2006**.
22. S. T. Akar, A. Gorgulu, Z. Kaynak, B. Anilan, T. Akar, "Biosorption of Reactive blue 49 dye under batch and continuous mode using a mixed biosorbent of macro-fungus Agaricusbisporus and Thujaorientalis cones", Chem. Eng. J.148, 26-34, **2009**.
23. A. R. Khataee, F. Vafaei, M. Jannatkhah, "Biosorption of three textile dyes from contaminated water by filamentous green algal Spirogyra sp: Kinetic, isotherm and thermodynamic studies", Int. Biodeterior. Biodegrad.83, 33-40, **2013**.
24. M. E. Haddad, R. Slimani, R. Mamouni, M. R. Laamari, S. Rafqah, S. Lazar, "Evaluation of potential capability of calcined bones on the biosorption removal efficiency of safranin as cationic dye from aqueous solutions", J. Taiwan Inst. Chem. Eng. 44, 13-18, **2013**.
25. M. M. Areco, M. D. S.Afonso, "Copper, zinc, cadmium and lead biosorption by Gymnogongrustorulosus. thermodynamics and kinetics studies", Colloids Surf. B: Biointerfaces.81, 620-628, **2010**.
26. J. F. Gao, Q. Zhang, K. Su, J. H. Wang, "Competitive biosorption of Yellow 2G and Reactive brilliant red K-2G onto inactive aerobic granules: Simultaneous determination of two dyes by first-order derivative spectrophotometry and isotherm studies", Bioresour. Technol. 101, 5793-5801, **2010**.
27. E. Daneshvar, M. Kousha, M. S. Sohrabi, A. R. Khataee, A. Converti, "Biosorption of three acid dyes by the brown macroalgaStoechospermummarginatum: Isotherm, kinetic and thermodynamic studies", Chem. Eng. J. 195-196, 297-306, **2012**.